

# Symbolic Regression

Matheus Cândido Teixeira

## 1 Introdução

A regressão simbólica (RS) é utilizada para resolver o problema de *curve fitting*. Para isso, um conjunto de amostras é fornecido, e o resultado é uma função que possui o menor erro entre os pontos amostrados e o valor dela nesses pontos.

Há diversos métodos de aplicar a regressão simbólica [Jin et al., 2019]. Uma delas é utilizando programação genética (GP, do inglês *Genetic Programming*) [Poli et al., 2008]. A GP é semelhante ao Algoritmo Genético (GA, do inglês *Genetic Algorithm*) no que tange os operadores genéticos, pois ambos definem operadores de inicialização, seleção, cruzamento, mutação e *fitness*.

Na literatura, há diversas possíveis implementações dos operadores de GP. Por exemplo, na fase de geração de indivíduos, que podem ser gerados utilizando o método *full* ou *grow*. No primeiro método, o indivíduo é completamente gerado, isto é, todos os seus nós são preenchidos, enquanto que no último, não há essa necessidade. Na prática, é comum haver a combinação dos dois métodos, denominado *ramped half-and-half* [Poli et al., 2008], onde parte da população é gerada um dos métodos e o restante utilizando o outro. A seguir é apresentado as alternativas comuns para o desenvolvimento de cada operador.

Os operadores de seleção são os mesmos dos utilizados em GA: *roulette wheel* e *k-tournament*. O primeiro seleciona o indivíduo com probabilidade proporcional a *fitness* do indivíduo, ou seja, se a *fitness* de um indivíduo for  $f_k$  em uma população com  $N$  indivíduos, a probabilidade dele ser selecionado é igual a  $p(k) = f_k / \sum_{i=0}^N f_i$ . O outro método é o *k-tournament*, que amostra  $k$  indivíduos aleatoriamente e seleciona o indivíduo com maior *fitness* nesse grupo. A diferença entre esses algoritmos está na pressão seletiva imposta aos indivíduos. **Falar sobre menor pressão seletiva no começo e aumentar no final**, porém Poli et al. [2008] informa que o método *tournament* é o mais comum.

O operador de cruzamento (ou *crossover*) mais comum é denominado troca de sub-árvore. Esse operador funciona da seguinte maneira: dois indivíduos ( $I_1$  e  $I_2$ , respectivamente) são selecionados da população utilizando o operador de seleção, após isso, para cada indivíduo, é escolhido um ponto aleatório ( $p_1$  e  $p_2$ ) e um novo indivíduo é gerado pela junção da árvore  $I_1$  sem a sub-árvore com raiz no ponto  $p_1$  com a sub-árvore extraída do  $I_2$  com raiz em  $p_2$ .

No caso do operador de mutação há diversas alternativas, entre elas estão a mutação de um ponto e mutação de sub-árvore. O primeiro método, percorre todo o indivíduo muda o gene com uma probabilidade  $p_{op}$ . O segundo método, seleciona um ponto aleatório na árvore e, a partir desse ponto, uma sub-árvore é gerada aleatoriamente. Note que no primeiro método há duas probabilidades envolvidas: (1) a probabilidade de ocorrer mutação ( $p_m$ ) e (2) a probabilidade de haver mutação em cada nó ( $p_{op}$ ), caso o indivíduo tenha sido selecionado para mutação.

O último operador é o cálculo da *fitness*. Como a regressão simbólica busca minimizar o erro entre função gerada e os pontos amostrais, é comum utilizar o erro (a diferença entre o ponto e o resultado da função nesse ponto) como a forma de mensurar a adequação do indivíduo. Portanto, a *fitness* pode ser calculada como a somatória do erro absoluto (MAE), somatória do quadrado do erro (MSE) ou raiz quadrada da somatória do quadrado do erro (RMSE) entre a função gerada e

os pontos amostrais fornecidos, onde as equações são fornecidas a seguir:

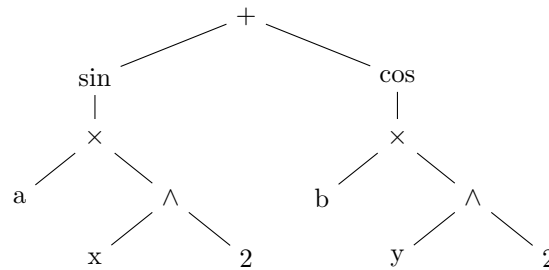
$$\text{MAE} = \sum_i^N |y - \hat{y}|$$

$$\text{MSE} = \sum_i^N (y - \hat{y})^2$$

$$\text{RMSE} = \sqrt{\sum_i^N (y - \hat{y})^2} = \sqrt{\text{MSE}}$$

Outro aspecto importante em GP é a representação dos indivíduos, que podem ser representados linearmente ou em árvore. Ambas as representações possuem vantagens, porém é mais comum a implementação em árvore. Juntamente com a representação é importante definir os conjuntos de valores que eles podem assumir. A escolha do conjunto de funções e operadores devem atender a três restrições: Suficiência, Parcimônia e Fechamento <sup>1</sup>.

Por exemplo, para uma árvore com um conjunto de funções  $F: \{\sin(\cdot), \cos(\cdot)\}$ , com um conjunto de operadores  $S: \{\times, +, -, \div\}$ , uma possível árvore, cuja expressão é  $\sin(ax^2) + \cos(by^2)$ , onde  $a$  e  $b$  são constantes numéricas e  $x$  e  $y$  são variáveis independentes, é:



Neste trabalho, o GP é utilizado para resolver o problema da RS. Os detalhes e parâmetros da implementação são apresentados nas próximas seções. Para mensurar a eficiência, o algoritmo é aplicado a 2 dataset, o primeiro é um dataset para teste, que possui uma versão pura e outra com ruídos aleatórios. O outro dataset é um real e contém 8 colunas de *features* e uma representando a resposta.

O restante deste relatório é dividido em 3 seções: (1) A seção de metodologia apresenta os detalhes e escolhas de implementação e design de projeto. (2) A seção de experimentos apresenta os resultados obtidos do treinamento do algoritmo nos datasets. (3) Por fim, a seção de conclusão analisa os resultados obtidos da seção de experimentos.

## 2 Metodologia

Nesta seção é descrito os detalhes de implementação e as decisões de design aplicadas neste projeto. A descrição e detalhes são apresentados na ordem: representação dos indivíduos, métodos de geração de indivíduos, métodos de seleção, operador de crossover, operador de mutação, operador de reprodução, elitismo e mecanismos de controle (ou de parada).

### 2.1 Representação dos indivíduos

A representação dos indivíduos impacta diretamente na performance do sistema e na expressividade dos indivíduos. Portanto, a princípio é apresentado como o genótipo do indivíduo é definido e como ele é codificado.

Os indivíduos em GP são representados por árvores sintáticas, que possuem nós e terminais. Os nós são operadores aritméticos ou funções e os terminais são constantes ou variáveis. O conjunto de

<sup>1</sup> Suficiência significa que é possível expressar uma solução para o problema utilizando o conjunto de operadores fornecido. Fechamento significa que os operadores devem suportar todos os resultados dos demais. Parcimônia significa que o conjunto de operadores não deve conter elementos desnecessários para representar os indivíduos.

nós e terminais juntos formam o *primitive set* do GP [Poli et al., 2008]. Neste sistema o conjunto de funções são as funções trigonométricas (sin, cos e tan) e o logaritmo com bases diferentes (log e log 10). As constantes são geradas aleatoriamente utilizando uma distribuição multimodal. A escolha desse método se deve ao fato que muitas função matemáticas possuem contantes no intervalo  $(0, 1]$  e com sinal variado. As variáveis são geradas aleatoriamente, onde um número inteiro no intervalo  $(0, N]$ , onde  $N$  deve ser menor ou igual ao número de colunas do dataset menos um, ou seja, se há 10 colunas de *features* e uma que representa a variável de resposta, então  $N$  deve ser igual ao número de *features* ou menor.

Outro aspecto importante na representação dos indivíduos é que eles são geralmente representados por uma estrutura de árvore. A literatura define diversas estruturas de árvores, como árvores binárias, *B-tree*, entre outras. Um problema na representação utilizando esses tipos de árvores é a indireção, que pode afetar a performance do sistema [Faria et al., 2013], portanto, para evitar os efeitos da indireção de ponteiros, os indivíduos são representados utilizando *Heaps*, que são árvores especializadas. Nesse tipo de estrutura, os ponteiro são implicitamente substituídos por índices. O nó a esquerda está na posição  $2n + 1$  e  $2n + 2$ . Outra vantagem no uso de *Heaps* está no fato dos dados serem armazenados linearmente, o que reduz os efeitos do *cache miss*, causado por dados espalhados na memória.

O sistema é flexível na escolha da máxima profundidade que um indivíduo (representado por uma árvore) possui e permite ao usuário especificar qualquer profundidade aos indivíduos. Um fator que pode ser vantajoso é que o espaço ocupado por um indivíduo é determinístico, ou seja, se a profundidade for de  $l$ , então a quantidade de nós nessa profundidade é  $2^l$ . A quantidade total de nós que um indivíduo possui é igual a  $\sum_{l=0}^L 2^l = 2^L - 1$ , onde  $L$  é a profundidade máxima da árvore. Portanto, para uma população com  $N$  indivíduos e profundidade máxima  $L$ , há  $N \times (2^L - 1) \times \text{sizeof}(\text{nó})$  bytes ocupados.

Em conclusão, os indivíduos são representados como árvore no ponto de vista semântico e como vetor contíguo na memória. Espera-se que com essa estrutura haja um ganho na performance devido a redução dos efeitos da indireção e por consequência de *cache miss*.

## 2.2 Operadores de Geração

A literatura define vários operadores de geração de indivíduos, como o método *Full*, *Grow* e a combinação de ambos, denominado *Ramped Half and Half*. O método *Full*, gera um indivíduo preenchendo todos os seus nós. O método *Grow*, em contraste com o método anterior, preenche um usuário não necessariamente preenchendo todos os nós. Por fim, o último método gera indivíduos utilizando os dois métodos anteriores, com 50% de probabilidade para ambos [Poli et al., 2008].

Nessa implementação, há suporte para os três tipos de geração. O método *Full* é gerado iterativamente, preenchendo os  $L - 1$  níveis da árvore do indivíduo com funções ou operadores e a última camada com terminais (constantes ou variáveis). O método *Grow* é gerado com uma função recursiva, que escolhe um operador ou função como raiz e utiliza uma função de distribuição uniforme para decidir se avança ou não mais um nível em cada ramo da árvore, isto é, o filho à esquerda ou à direita. Já o método *Ramped Half-and-Half* utiliza também uma função de distribuição uniforme para decidir qual dos dois métodos utilizar.

## 2.3 Operadores de Seleção

Dois operadores de seleção que são frequentemente utilizados são o *Roulette Wheel* e o *k-Tournament*. O primeiro método seleciona algum indivíduo da população com probabilidade proporcional a sua *fitness*, isto é,  $p(i) = f_i / \sum_{k=0}^N f_k$ . Já o último método amostra  $k$  indivíduos aleatoriamente e seleciona o indivíduo que possui a maior *fitness* dessa amostragem. O método *Tournament* possui a vantagem de permitir o ajuste da pressão seletiva aplicada, onde valores menores de  $k$  geram baixa pressão seletiva ao passo que grandes valores de  $k$  aumentam a pressão seletiva [Baeck, 1994].

Na aplicação desenvolvida é possível utilizar ambos os métodos de seleção. Para o *k-Tournament* também é possível especificar o valor de  $k$ . Essa flexibilidade facilita os testes e a escolha do valor adequado para o parâmetro, que ajusta a pressão seletiva da seleção e, assim, na interfere na convergência da população.

## 2.4 Operadores de Crossover

A operação de *crossover* utiliza o operador de seleção para a escolha de dois indivíduos para que eles possam reproduzir. A reprodução depende de dois fatores: a probabilidade de *crossover* ( $p_c$ ) e o método de *crossover*. Uma método comum para realizar esse evento é denominado troca de sub-árvore, onde duas árvores são selecionadas utilizando os operadores de seleção e para cada árvore um ponto é selecionado aleatoriamente. Para uma árvore, o pai, a sub-árvore com raiz no ponto selecionado é removido e no lugar é inserido a sub-árvore com raiz no ponto selecionado na outra árvore, a mãe. A escolha do ponto que determina a raiz da sub-árvore é feita aleatoriamente, porém, na implementação do algoritmo, a escolha desses pontos é feita de tal modo que a soma da profundidade da árvore pai da raiz até o ponto selecionado com a profundidade da sub-árvore oriunda da árvore mãe não seja maior de que o comprimento máximo que um indivíduo pode possuir.

No que tange a implementação, o parâmetro  $p_c$  pode assumir qualquer valor no intervalo (0, 1). A decisão desse parâmetro pode alterar o valor dos operadores de mutação ( $p_m$ ) e do operador de reprodução ( $p_r$ ). A forma como a probabilidade deles pode ser ajustada automaticamente em situações específicas é descrito na seção Ajuste Inteligente de Parâmetros.

## 2.5 Operadores de Mutação

A literatura define os operadores de dois tipos de operadores de mutação: mutação de sub-árvore e *one-point mutation* (OPM) [Poli et al., 2008]. No primeiro método um ponto é escolhido aleatoriamente na árvore e, a partir desse ponto, uma sub-árvore é gerada aleatoriamente. No algoritmo implementado, o método de geração da sub-árvore é o mesmo empregado no método *grow* de geração (veja Seção 2.2). O outro método de mutação é o OPM. Esse método é aplicado sobre todos os nós e terminais da árvore do indivíduo, onde há a probabilidade de  $p_{op}$  de haver mutação nesse nó. A mutação em um nó específico ocorre alterando o elemento contido nele por outro da mesma classe, por exemplo, em um nó contendo a função *sin*, a OPM pode alterá-lo para *tan*, ou seja, manteve a classe (uma função), porém alterou o elemento contido no nó.

Na implementação, ambos os métodos possuem igual probabilidade de serem empregados (50%-50%, respectivamente), porém no caso do OPM a probabilidade de mutação de cada nós é especificado separadamente e é possível controlar o valor dessa probabilidade através da constante  $p_{op}$ , que controla a probabilidade de OPM.

## 2.6 Operador de Reprodução

Quando a probabilidade de *crossover* e de mutação somadas é menor do que 100%, algebricamente expresso por  $p_c + p_m < 1$ , entra em ação o operador de reprodução, que basicamente seleciona indivíduos da população utilizando o operador de seleção selecionado até que a próxima geração atinja o tamanho máximo da população.

Esse parâmetro pode ser ajustado na aplicação através do parâmetro  $p_r$ , e, dessa forma, os operadores de mutação ( $p_m$ ) e de *crossover* ( $p_c$ ) são ajustados automaticamente.

## 2.7 Eletismo

Após a geração da próxima geração de indivíduos há duas possibilidades: descartar a população anterior ou manter os indivíduos da população anterior com a nova população e selecionar os que possuem maior *fitness* em ambas as populações. Essa última abordagem é denominada eletismo.

O sistema desenvolvido permite que a aplicação do eletismo seja controlado pelo parâmetro  $E$ , que indica se deve ou não ocorrer eletismo.

## 2.8 Fitness

A *Fitness* determina o quão adaptado um indivíduo está e é utilizada para comparação entre os indivíduos. A função para calcular a *fitness* está relacionada ao problema, e, no caso da RS, algumas formas de mensurar a *fitness* de um indivíduos são o erro médio absoluto (MSA), o error médio quadrado (MSE) e a raiz do erro médio quadrado (RMSE). Independente da métrica utilizada para calcular a *fitness*, o objetivo é minimizar o erro.

Na implementação desenvolvida todas as três métricas descritas estão disponíveis e fica a critério do usuário a escolha de qual métrica de erro utilizar.

## 2.9 Ajuste Inteligente de Parâmetros

As probabilidades de *crossover* ( $p_c$ ), de mutação ( $p_m$ ) e de reprodução ( $p_r$ ) estão relacionadas através da seguinte equação:

$$p_c + p_m + p_r = 1 \quad (1)$$

Geralmente, é comum atribuir valores altos para  $p_c$  e mais baixos  $p_m$ , porém quando eles não somam a 1, o operador de reprodução  $p_r$  é atribuído ao complemento, de tal forma que a equação 1 é satisfeita.

Outra forma de controle ocorre quando o usuário atribui um valor para  $p_r$ , neste caso, os valores de  $p_c$  e  $p_m$  são ajustado para que a soma deles resulte em  $1 - p_r$ . Quando isso ocorre, a proporção relativa entre eles é mantida, isto é:

$$p_c = \frac{p_c}{p_c + p_m} \times (1 - p_r) \quad p_m = \frac{p_m}{p_c + p_m} \times (1 - p_r)$$

## 2.10 Ambiente para Testes

Devido ao fato da GP tomar decisões aleatoriamente, o resultado pode variar entre execuções. Para alcançar um grau de confiança nos resultados obtidos, é necessário repetir os testes diversas vezes. Para isso, o sistema implementado possui suporte para testes.

Para testar os alguns parâmetro o usuário deve fornecer um arquivo `*.csv`, onde cada linha deve conter uma lista de números inteiros que são utilizados como *seeds* para o geradores de números aleatórios. O gerador utilizado na implementação é o **32-bit Mersenne Twister**. Os testes são repetidos para cada linha contida no arquivo contendo as *seeds*.

## 2.11 Desempenho

Conforme mencionado nas seções anteriores, as escolhas da representação dos indivíduos foi feita tendo em vista a performance do sistema. Um fator a ser explorado é a performance do sistema com a introdução de paralelismo.

# 3 Experimentos

Nesta seção é apresentado resultados dos experimentos realizados. Os resultados apresentados são estatísticas geradas a partir da execução dos parâmetros mantidos fixos e alterando apenas as *seeds* do gerador pseudo-aleatório. São fornecidos para o teste 31 sementes, cada uma contendo 20 números inteiros gerados aleatoriamente. Ao aplicar o mesmo conjunto de sementes, os resultados devem ser reproduzíveis.

## 3.1 Dataset Experimental

Este dataset possui uma versão sem ruído e uma versão ruidosa. O algoritmo será aplicado em ambas as versões.

O primeiro teste tem o objetivo de identificar qual o tamanho da população que atinge o menor valor de *fitness* em média. Para isso, o tamanho da população é variado e os demais parâmetros são mantidos constantes. As estatísticas da repetição do algoritmo para cada tamanho de população é apresentado na Tabela 1, onde cada coluna representa uma informação da população e cada linha representa estatísticas dos resultados da repetição do algoritmo para diferentes *seeds*.

Os valores testados da população são 50, 100, 300 e 500 indivíduos. Os resultados são apresentados na Tabela 2. As estatísticas coletadas são a quantidade de indivíduos únicos, a quantidade de indivíduos melhores que a mediana da geração passada, a menor, a maior, a mediana, o desvio padrão e a média da *fitness* da população após as atingir as 40 gerações. Como o teste foi repetido 31 vezes com sementes diferentes, as estatísticas da população final de todas elas são sumarizadas. Os resultados indicam que com a população de 500 indivíduos a média da *fitness* mínima da população é de 0.19, portanto, os próximos experimentos serão realizados mantendo-se a população com 500 indivíduos.

Tab. 1: Parâmetros *default*

# Vars	MaxG	MG	MD	MS	$p_c$	$p_m$	ME	T	E
1	40	<i>Ramped HH</i>	7	3-Tournament	0.9	0.05	MAE	$10^{-9}$	0

# Vars indica a quantidade de variáveis. MaxG é o limite de gerações. MG é método de geração da população. MD é a profundidade máxima dos indivíduos. MS é o método de seleção.  $p_c$  e  $p_m$  são a probabilidade de crossover e mutação, respectivamente. ME é a métrica de erro, T é o threshold mínimo e E indica a presença de eletismo.

Tab. 2: Resultado do tamanho da população

	# U	# M	min.	max.	median.	stddev	avg.	Pop.
avg.	4.93	2.96	0.195	925.24	0.199	129.83	18.93	50
stddev	6.9	8.002	0.035	3227.92	0.015	451.81	64.51	
CV	1.39	2.69	0.179	3.48	0.076	3.479	3.408	
max.	42	30	0.21	16756.27	0.21	2345.84	335.39	
min.	3	0	0.01	0.47	0.12	0.05	0.21	
avg.	7.03	3.6129	0.199	17006.21	0.201	1692.58	170.83	100
stddev	0.83	11.03	0.006	58480.12	0.005	5818.47	585.48	
CV	0.118	3.05	0.03	3.44	0.028	3.44	3.43	
max.	10	54	0.21	240038.24	0.21	23883.07	2404.89	
min.	6	0	0.18	1.568724	0.19	0.25	0.26	
avg.	19.29	14.03	0.20	19350.68	0.20	1128.70	69.31	300
stddev	6.83	30.98	0.01	55837.68	0	3219.99	188.27	
CV	0.35	2.21	0.03	2.89	0.02	2.85	2.72	
max.	50.00	115.00	0.20	293033.57	0.21	16889.95	981.34	
min.	16.00	0.00	0.17	11.10	0.20	0.70	0.30	
avg.	43.52	77.61	0.19	281293.46	0.20	12618.11	576.70	500
stddev	55.94	76.42	0.03	1080461.83	0.01	48259.57	2159.41	
CV	1.29	0.98	0.19	3.84	0.03	3.82	3.74	
max.	306.00	218.00	0.20	5960136.66	0.21	266278.53	11925.03	
min.	26.00	0.00	0.01	16.40	0.20	1.04	0.34	

# U: quantidade de indivíduos únicos. # M: quantidade de indivíduos melhores que a mediana da população anterior. min.: Fitness mínima atingida. max.: Fitness máxima atingida. median.: mediana da Fitness da população final. stddev: Desvio Padrão da Fitness da população final. avg.: Média aritmética. Pop.: Tamanho da população.

O próximo experimento é do efeito das probabilidade de mutação e *crossover*. Como o teste anterior manteve os parâmetros de  $p_c = 0.9$  e de  $p_m = 0.05$ , os próximos experimentos verificam o efeito de aumentar a probabilidade de mutação e , por consequência, diminuir a probabilidade de *crossover*.

Com a variação da probabilidade é possível concluir a partir da Tabela 3 que o algoritmo atinge a menor *fitness* em média quando a probabilidade de crossover é menor. A menor *fitness* média é de 0.13 com  $p_c = 0.6$  e  $p_m = 0.3$ , porém a quantidade de indivíduos gerados que são melhores do que a mediana da população anterior é maior para o último caso, onde  $p_c = 0.85$  e  $p_m = 0.15$ . Para os próximos experimentos o valor de  $p_c = 0.6$  e  $p_m = 0.3$  serão fixados.

Outro característica a ser testado é tamanho do torneio, isto é, o parâmetro k do método de seleção *Tournament*. Os teste anteriores foram realizados com o parâmetro k fixo e com valor 3. Os demais testes modificam o valor de k para 5, 7 e 10. Os resultados estão presentes na Tabela 4. Os resultados indicam que o valor de  $k = 5$  são os que resultam no menor valor de *fitness* em média. Para o último experimento o tamanho do torneio é fixado em  $k = 5$ .

Por fim, o último parâmetro experimentado é como a presença do eletismo. Os teste anteriores foram realizados sem eletismo e o próximo experimento é realizado com o eletismo ativado. Os resultados estão apresentados na Tabela 5. Comparando os resultados da presença ou ausência de eletismos. Os resultados indicam que a ausência de eletismo possui o valor da *fitness* menor do que quando ativado. Porém, outro aspecto é a diferença no valor máximo da *fitness* entre

Tab. 3: Variação da probabilidade de crossover e mutação

	# U	# M	min.	max.	median.	stddev	avg.	$p_c/p_m$
avg.	274.35	130.71	0.13	1793669.61	0.20	81221.52	3873.49	$p_c = 0.6$ $p_m = 0.3$
stddev.	131.73	25.82	0.08	6382322.66	0.03	284986.57	12753.39	
CV	0.48	0.20	0.63	3.56	0.14	3.51	3.29	
max.	468.00	174.00	0.20	33708402.01	0.21	1505976.37	67438.93	
min.	156.00	64.00	0.00	314.24	0.08	19.12	2.13	
avg.	176.19	161.68	0.16	608201.55	0.20	27274.88	1293.95	$p_c = 0.7$ $p_m = 0.2$
stddev	123.60	49.49	0.06	1590846.25	0.03	71090.51	3294.17	
CV	0.70	0.31	0.38	2.62	0.17	2.61	2.55	
max.	467.00	203.00	0.20	8429830.05	0.21	376746.76	17498.51	
min.	102.00	0.00	0.00	429.51	0.03	19.85	2.32	
avg.	91.32	202.90	0.19	6679069.20	0.21	299038.87	13859.07	$p_c = 0.85$ $p_m = 0.15$
stddev	72.92	73.82	0.03	28313559.15	0.01	1265314.09	57887.15	
CV	0.80	0.36	0.17	4.24	0.03	4.23	4.18	
max.	484.00	252.00	0.20	157549013.24	0.21	7039707.91	321514.74	
min.	75.00	0.00	0.02	628.67	0.19	36.60	4.35	

Mesmos que da Tabela 2.  $p_c$ : Probabilidade de crossover.  $p_m$ : Probabilidade de mutação.

Tab. 4: Variação do parâmetro k

	# U	# M	min.	max.	median.	stddev	avg.	$k$
avg.	299.19	158.16	0.10	360372.62	0.21	16253.90	758.62	$k = 5$
stddev	107.66	19.55	0.08	1767685.76	0.10	78952.58	3532.77	
CV	0.36	0.12	0.81	4.91	0.49	4.86	4.66	
max.	464.00	209.00	0.20	9867700.84	0.44	440855.16	19742.83	
min.	145.00	132.00	0.00	74.91	0.03	4.87	0.89	
avg.	265.87	154.23	0.11	141705.79	0.23	6368.16	303.79	$k = 7$
stddev	95.11	12.26	0.07	331306.45	0.10	14808.40	675.54	
CV	0.36	0.08	0.59	2.34	0.43	2.33	2.22	
max.	448.00	183.00	0.20	1400507.65	0.47	62569.32	2853.22	
min.	144.00	128.00	0.00	27.26	0.04	1.86	0.54	
avg.	218.68	148.97	0.12	8627.45	0.25	418.71	28.16	$k = 10$
stddev	73.40	32.59	0.06	20553.19	0.11	952.17	57.26	
CV	0.34	0.22	0.45	2.38	0.46	2.27	2.03	
max.	358.00	199.00	0.18	99365.38	0.57	4597.18	270.40	
min.	129.00	0.00	0.00	50.11	0.12	4.11	1.04	

Mesmos que da Tabela 2.  $k$  é o parâmetro do método de seleção *Tournament*.

Tab. 5: Efeitos do eletismo

	# U	# M	min.	max.	median.	stddev	avg.	E
avg.	299.19	158.16	0.10	360372.62	0.21	16253.90	758.62	0
stddev	107.66	19.55	0.08	1767685.76	0.10	78952.58	3532.77	
CV	0.36	0.12	0.81	4.91	0.49	4.86	4.66	
max.	464.00	209.00	0.20	9867700.84	0.44	440855.16	19742.83	
min.	145.00	132.00	0.00	74.91	0.03	4.87	0.89	
avg.	13.45	28.10	0.12	0.13	0.13	0.00	0.13	1
stddev	36.93	39.89	0.06	0.05	0.05	0.00	0.05	
CV	2.75	1.42	0.47	0.42	0.42	2.72	0.43	
max.	207.00	172.00	0.18	0.18	0.18	0.02	0.18	
min.	1.00	0.00	0.00	0.00	0.00	0.00	0.00	

Mesmos que da Tabela 2. E indica a presença ou ausência de eletismo.

Tab. 6: Resultados da aplicação no dataset com ruídos

	# U	# M	min.	max.	median.	stddev	avg.
avg.	299.19	158.16	0.10	360372.62	0.21	16253.90	758.62
stddev	107.66	19.55	0.08	1767685.76	0.10	78952.58	3532.77
CV	0.36	0.12	0.81	4.91	0.49	4.86	4.66
max.	464.00	209.00	0.20	9867700.84	0.44	440855.16	19742.83
min.	145.00	132.00	0.00	74.91	0.03	4.87	0.8

Mesmos que da Tabela 2.

eles. Quando o eletismo está ativo, o melhor e o pior indivíduo não estão tão distantes quando se comparado com os indivíduos gerados com o eletismo desativado.

Através dos experimentos realizados, obteve-se que a maior população (500 indivíduos), com maior probabilidade de mutação ( $p_c = 0.6$  e  $p_m = 0.3$ ), com o parâmetro  $k$  do método de seleção  $k$ -Tournament com 1% do tamanho da população ( $k = 5$ ) e sem eletismo, atingem o menor valor de *fitness* entre todos os experimentos conduzidos. Para verificar a robustez do algoritmo os parâmetros obtidos são também aplicados para o dataset que contém ruídos.

Os resultados apresentados na Tabela 6 são semelhantes aos resultados obtidos sem a presença de ruído, conforme pode ser observado na Tabela 5.

### 3.2 Dataset Real

Neste experimento, o sistema é testado com um dataset real. Este dataset contém 9 colunas. Portanto, a regressão utiliza até 8 diferentes variáveis. Devido a complexidade do dataset, a profundidade da árvore é estabelecida como 7.

## 4 Conclusão

Poli, Langdon, and McPhee [2008]

### Referências

- Thomas Baeck. Selective pressure in evolutionary algorithms: A characterization of selection mechanisms. *IEEE Conference on Evolutionary Computation - Proceedings*, 1(1):57–62, 1994. doi: 10.1109/icec.1994.350042.
- Nuno Faria, Rui Silva, and João L. Sobral. Impact of data structure layout on performance. *Proceedings of the 2013 21st Euromicro International Conference on Parallel, Distributed, and Network-Based Processing, PDP 2013*, pages 116–120, 2013. doi: 10.1109/PDP.2013.24.
- Ying Jin, Weilin Fu, Jian Kang, Jiadong Guo, and Jian Guo. Bayesian Symbolic Regression. 2019. URL <http://arxiv.org/abs/1910.08892>.



---

Riccardo Poli, W.B. Langdon, and N.F. McPhee. *A Field Guide to Genetic Programing*. Number March. 2008. ISBN 978-1-4092-0073-4. URL <http://www.essex.ac.uk/wyvern/2008-04/WyvernApril087126.pdf>.